

01; 09

© 1991 г.

## РАДИОИЗЛУЧЕНИЕ СЛОИСТОГО ПОЛУПРОСТРАНСТВА СО СЛАБОШЕРОХОВАТОЙ ПОВЕРХНОСТЬЮ

*Н. П. Жук, О. А. Третьяков, А. Г. Яровой*

Получены аналитические выражения для яркостной температуры собственного излучения плоскослоистого диэлектрического полупространства со слабошероховатой поверхностью на произвольной поляризации. Приведены результаты расчетов радиояркостного контраста неровной статистически изотропной и ровной поверхностей кусочно-однородного полупространства.

1. Появление данной работы вызвано рядом практических запросов СВЧ радиометрии, которые в теоретическом плане сводятся к задаче расчета теплового радиоизлучения, исходящего от слабошероховатой земной поверхности [<sup>1, 2</sup>]. Детальное исследование этой задачи проведено в частных случаях хорошо проводящей среды [<sup>3</sup>] и однородного диэлектрического полупространства [<sup>4, 5</sup>], ограниченных шероховатой поверхностью. Мы обратились к более совершенной модели, в которой учтено изменение электрофизических параметров земных покровов по глубине.

Цель работы — решение задачи о яркостной температуре собственного излучения выбранной модели и анализ совместного влияния слоистости среды и шероховатости ее поверхности на формирование этого излучения. Для расчета последнего использована электродинамическая теория равновесных тепловых флуктуаций [<sup>6</sup>]. Влияние шероховатостей учтено в рамках статистико-волновой теории, описывающей многократное рассеяние [<sup>7</sup>].

Главный аналитический результат работы представлен формулами (5)–(8) для яркостной температуры собственного излучения на произвольной поляризации. Он относится к общему случаю статистически анизотропных шероховатостей. С его помощью можно легко получить выражения для параметров Стокса теплового радиоизлучения [<sup>1</sup>], которые из-за своей громоздкости здесь опущены.

Для случая изотропных шероховатостей, коррелированных по гауссовскому закону, в работе приведены результаты расчета на ЭВМ радиояркостного контраста шероховатой и гладкой границ на вертикальной и горизонтальной поляризациях. Исследована зависимость радиояркостного контраста от геометрических характеристик неровностей, электрофизических параметров диссипативного полупространства и угла визирования.

2. Отнесем все пространство к прямоугольной декартовой системе координат  $x, y, z$ , ось  $0z$  для определенности направим вертикально вверх. Положим, что земные покровы занимают нижнее полупространство, земная поверхность в отсутствие неровностей совпадает с плоскостью  $z=0$ , а верхнее полупространство является свободным. В принятой нами модели земные покровы рассматриваются как диэлектрик с комплексной проницаемостью  $\epsilon(z)=\epsilon'(z)(1+i\delta(z))$ , зависящей только от вертикальной координаты  $z$ . Здесь  $\epsilon'$  — вещественная часть диэлектрической проницаемости,  $\delta$  — тангенс угла диэлектрических потерь. Магнитная проницаемость всюду равна 1.

При наличии шероховатостей поверхность диэлектрической среды считается заданной уравнением  $z=\zeta(r)$ , где  $\zeta$  — случайная функция с нулевым

средним значением, средним квадратом, равным  $\sigma^2$ , и функцией корреляции  $\langle \zeta(r) \zeta(r') \rangle = B(r-r')$ . Угловые скобки означают усреднение по ансамблю реализаций  $\zeta$ ;  $r=(x, y, 0)$ . Предполагается, что характерная высота отдельной неровности значительно меньше ее характерного горизонтального размера и длины волны излучения в свободном пространстве.

Расчет теплового излучения нагретого тела, как известно [6], связан с решением задачи дифракции на этом теле плоской монохроматической электромагнитной волны. Решение последней известно [8-10], поэтому мы ограничимся только кратким его описанием применительно к рассматриваемой ситуации.

Пусть из верхнего полупространства на описанную выше диэлектрическую среду в направлении вектора  $\mathbf{l}_i = (\cos \varphi_i, \sin \alpha_i, \sin \varphi_i, \sin \varphi_i, -\cos \alpha_i)$  падает плоская волна (временной множитель  $\exp(-i\omega t)$  опущен)

$$\begin{aligned} \mathbf{E}^{(i)}(\mathbf{R}) &= \exp(i\mathbf{k}\mathbf{l}_i \cdot \mathbf{R}) (\mathbf{z}_0 \times \mathbf{n}_i A_p + \theta_i A_s), \quad \mathbf{H}^{(i)}(\mathbf{R}) = \\ &= \exp(i\mathbf{k}\mathbf{l}_i \cdot \mathbf{R}) (\theta_i A_p - \mathbf{z}_0 \times \mathbf{n}_i A_s). \end{aligned} \quad (1)$$

Здесь  $\mathbf{R}=(x, y, z)$ ;  $\mathbf{n}_i = (\cos \varphi_i, \sin \varphi_i, 0)$ ;  $\alpha_i, \varphi_i$  — угол падения и азимутальный угол распространения волны соответственно  $0 \leq \alpha_i < 90^\circ$ ,  $0 \leq \varphi_i < 360^\circ$ ;  $\mathbf{z}_0$  — орт оси Oz;  $\theta_i$  — единичный вектор, лежащий в плоскости падения и ортогональный вектору  $\mathbf{l}_i$ :  $\theta_i = \mathbf{z}_0 \sin \alpha_i + \mathbf{n}_i \cos \alpha_i$ ;  $k \equiv \omega/c$ ,  $c$  — скорость света в вакууме;  $A_s, A_p$  — комплексные амплитуды вертикально ( $s$ ) и горизонтально ( $p$ ) поляризованных составляющих электрического поля падающей волны.

Представим дифрагированные поля  $\mathbf{E}^{(d)}(\mathbf{R}), \mathbf{H}^{(d)}(\mathbf{R})$  в виде суммы статистически средней (когерентной) и флуктуационной компонент

$$\mathbf{E}^{(d)} = \langle \mathbf{E}^{(d)} \rangle + \mathbf{E}^{(f)}, \quad \mathbf{H}^{(d)} = \langle \mathbf{H}^{(d)} \rangle + \mathbf{H}^{(f)}; \quad \langle \mathbf{E}^{(f)} \rangle = \langle \mathbf{H}^{(f)} \rangle = 0. \quad (2)$$

Когерентная компонента, отраженная в верхнее полупространство, описывается выражениями

$$\begin{aligned} \langle \mathbf{E}^{(d)}(\mathbf{R}) \rangle &= \exp(i\mathbf{k}\mathbf{l}_r \cdot \mathbf{R}) [\mathbf{z}_0 \times \mathbf{n}_r R_{pp} - \theta_r R_{sp}] A_p + (\theta_r R_{ss} - \mathbf{z}_0 \times \mathbf{n}_r R_{ps}) A_s, \\ \langle \mathbf{H}^{(d)}(\mathbf{R}) \rangle &= \exp(i\mathbf{k}\mathbf{l}_r \cdot \mathbf{R}) [(\theta_r R_{pp} + \mathbf{z}_0 \times \mathbf{n}_r R_{sp}) A_p - (\mathbf{z}_0 \times \mathbf{n}_r R_{ss} + \theta_r R_{ps}) A_s]; z > 0, \end{aligned} \quad (3)$$

где  $\mathbf{l}_r, \theta_r$  — единичные векторы, определяющие соответственно направление зеркального отражения и ортогональное ему направление в плоскости падения,  $\mathbf{l}_r = (\cos \varphi_r, \sin \alpha_r, \sin \varphi_r, \sin \alpha_r, \cos \alpha_r)$ ,  $\theta_r = \mathbf{z}_0 \sin \alpha_r - \mathbf{n}_r \cos \alpha_r$ ;  $R_{\mu\nu} \equiv R_{\mu\nu}(\alpha_r, \varphi_r)$  — коэффициент когерентного отражения  $\nu$ -поляризованной плоской волны в плоскую волну  $\mu$ -й поляризации ( $\mu, \nu = s, p$ ).

Плотность потока энергии флуктуационной компоненты  $P_f(\mathbf{R}) = (c/8\pi) \operatorname{Re} \times \langle \mathbf{E}^{(f)}(\mathbf{R}) \times (\mathbf{H}^{(f)}(\mathbf{R}))^* \rangle$  ( $*$  — комплексное сопряжение) в точке наблюдения  $\mathbf{R}$ , расположенной в свободном пространстве на достаточном удалении от шероховатой границы, допускает представление

$$P_f(\mathbf{R}) = (c/8\pi) \int dx' dy' \mathbf{l}_{sc} |\mathbf{R} - \mathbf{r}'|^2 [\langle |L_{sp} A_p - L_{ss} A_s|^2 \rangle + \langle |L_{pp} A_p - L_{ps} A_s|^2 \rangle]. \quad (4)$$

Здесь  $\mathbf{l}_{sc}$  — единичный вектор, направленный из переменной точки  $\mathbf{r}' = (x', y', 0)$  в точку наблюдения  $\mathbf{R}$ :  $\mathbf{l}_{sc} = (\cos \varphi_{sc}, \sin \alpha_{sc}, \sin \varphi_{sc}, \sin \alpha_{sc}, \cos \alpha_{sc})$ ;  $\alpha_{sc}, \varphi_{sc}$  — углы сферической системы координат с центром в точке  $\mathbf{r}'$ , определяющие указанное направление;  $L_{\mu\nu} \equiv L_{\mu\nu}(\alpha_r, \varphi_r, \alpha_{sc}, \varphi_{sc})$  — длина некогерентного рассеяния плоской волны  $\nu$ -й поляризации, падающей из свободного пространства в направлении вектора  $\mathbf{l}_i$ , в квазисферическую волну  $\mu$ -й поляризации, исходящую из точки  $\mathbf{r}'$  в направлении вектора  $\mathbf{l}_{sc}$  ( $\nu, \mu = s, p$ ).

Возвратившись к расчету собственного излучения отнесем точке наблюдения  $\mathbf{R}$  в свободном пространстве угол визирования  $\alpha$  и азимутальный угол  $\varphi$ :  $\mathbf{R} = (R \cos \varphi \sin \alpha, R \sin \varphi \sin \alpha, R \cos \alpha)$ . Пусть  $\mathbf{d}$  — единичный вектор ( $|\mathbf{d}|^2 = 1$ ), который определяет поляризацию излучения, принимаемого антенной (вещественным  $\mathbf{d}$  отвечает линейная поляризация, а комплексным — эллиптическая). Предположим, что диэлектрическое полупространство равномерно-

нагрето до термодинамической температуры  $T$ . На основании флюктуационно-диссипационной теоремы [6] получим выражение для плотности потока энергии собственного излучения, усредненного по ансамблю реализаций неровностей. Соответствующие выкладки подробно описаны в [11], поэтому сразу приводим итоговый результат — формулу для яркостной температуры  $T_{bd}(\alpha, \varphi)$  излучения на заданной поляризации  $d$

$$T_{bd}(\alpha, \varphi) = e_d(\alpha, \varphi) T; \quad (5)$$

$$e_d(\alpha, \varphi) = 1 - |\mathbf{d}^* \cdot (\theta R_{ss}(\alpha, \varphi) - \mathbf{z}_0 \times \mathbf{n} R_{sp}(\alpha, \varphi))|^2 - \\ - |\mathbf{d}^* \cdot (\mathbf{z}_0 \times \mathbf{n} R_{pp}(\alpha, \varphi) + \theta R_{ps}(\alpha, \varphi))|^2 - \sec \alpha \int_0^{\pi} d\varphi' \int_0^{360^\circ} P \sin \alpha' da'; \quad (6)$$

$$P = \langle |\mathbf{d}^* \cdot (\theta L_{ss}(\alpha, \varphi | \alpha', \varphi') - \mathbf{z}_0 \times \mathbf{n} L_{sp}(\alpha, \varphi | \alpha', \varphi'))|^2 \rangle + \\ + \langle |\mathbf{d}^* \cdot (\mathbf{z}_0 \times \mathbf{n} L_{pp}(\alpha, \varphi | \alpha', \varphi') + \theta L_{ps}(\alpha, \varphi | \alpha', \varphi'))|^2 \rangle. \quad (7)$$

Здесь  $e_d$  — излучательная способность на  $d$ -й поляризации диэлектрической среды с шероховатой поверхностью;  $\mathbf{n} = (-\cos \varphi, -\sin \varphi, 0)$ ;  $\theta = z_0 \sin \alpha + n \cos \alpha$ . Полученные формулы позволяют найти параметры Стокса собственного излучения, которые выражаются через значения яркостной температуры на четырех независимых поляризациях [1, 11]; в связи с громоздкостью мы их не приводим.

3. Коэффициенты когерентного отражения находятся из решения краевой задачи для когерентной компоненты в импедансной формулировке [8]

$$R_{ss}(\alpha_i, \varphi_i) = [(\alpha_e(\mathbf{x}) \cos \alpha_i + 1)(\cos \alpha_i - \beta_e(\mathbf{x})) + \rho^2(\mathbf{x}) \cos \alpha_i]/\Delta_e, \\ R_{pp}(\alpha_i, \varphi_i) = [(\alpha_e(\mathbf{x}) \cos \alpha_i - 1)(\cos \alpha_i + \beta_e(\mathbf{x})) - \rho^2(\mathbf{x}) \cos \alpha_i]/\Delta_e, \\ R_{sp}(\alpha_i, \varphi_i) = -R_{ps}(\alpha_i, \varphi_i) = 2\rho(\mathbf{x}) \cos \alpha_i/\Delta_e; \\ \Delta_e = (\alpha_e(\mathbf{x}) \cos \alpha_i + 1)(\cos \alpha_i + \beta_e(\mathbf{x})) - \rho^2(\mathbf{x}) \cos \alpha_i. \quad (8)$$

В этих формулах  $\mathbf{x}$  — горизонтальная компонента волнового вектора падающей плоской волны  $\mathbf{x} = kn_z \sin \alpha_i; \alpha_e, \beta_e, \rho$  — коэффициенты, определяющие диаду эквивалентного импеданса шероховатой границы. В применяемых здесь обозначениях они имеют следующий вид:

$$\alpha_e(\mathbf{x}) = \tilde{\alpha} + (k\sigma)^2 \tilde{\alpha} (\nu_e - 1) - \tilde{\alpha}^2 (1 - \nu_e)^2 k^2 \int d\mathbf{x}' \tilde{B}(\mathbf{x} - \mathbf{x}') \times \\ \times [k\tilde{\alpha}' (\mathbf{n}_i \cdot \mathbf{n}')^2/\Delta'_p + \beta' \gamma' (\mathbf{n}_i \times \mathbf{n}')^2/\Delta'_s], \\ \beta_e(\mathbf{x}) = \beta + (k\sigma)^2 \beta [\nu_e - 1 + (\mathbf{x}/k)^2 (\nu_e^{-1} - \nu_e)] - (1 - \nu_e)^2 k^2 \int d\mathbf{x}' \tilde{B}(\mathbf{x} - \mathbf{x}') \times \\ \times [(3^2 \beta' \gamma' (\mathbf{n}_i \cdot \mathbf{n}')^2 - \beta (\gamma' - k\beta') (\mathbf{n}_i \cdot \mathbf{n}') \mathbf{x}\mathbf{x}'/(k^2 \nu_e) - (\mathbf{x}\mathbf{x}')^2/(k^3 \nu_e^2))/\Delta'_s + \\ + k\beta^2 \tilde{\alpha}' (\mathbf{n}_i \times \mathbf{n}')^2/\Delta'_p], \\ \rho(\mathbf{x}) = (1 - \nu_e)^2 \int d\mathbf{x}' \tilde{B}(\mathbf{x} - \mathbf{x}') \mathbf{z}_0 \cdot \mathbf{n}_i \times \mathbf{n}' \times [(\tilde{\alpha} \gamma' (\mathbf{x}\mathbf{x}'/(k^2 \nu_e) - \beta \beta' (\mathbf{n}_i \cdot \mathbf{n}'))/\Delta'_s + \\ + k\beta \tilde{\alpha}' (\mathbf{n}_i \cdot \mathbf{n}')/\Delta'_p]. \quad (9)$$

Здесь интегрирование по  $\mathbf{x}' = (x'_x, x'_y, 0)$  производится по всей плоскости  $(x'_x, x'_y)$ ,  $\mathbf{n}' = \mathbf{x}'/\|\mathbf{x}'\|$ ;  $\mathbf{n}_i = \mathbf{x}/\|\mathbf{x}\|$ ;  $\tilde{B}$  — пространственный спектр неровностей  $\tilde{B}(\mathbf{q}) = \int d\mathbf{r} B(\mathbf{r}) \times \exp(i\mathbf{q} \cdot \mathbf{r})/(2\pi)$  ( $\mathbf{q} = (q_x, q_y, 0)$ );  $\nu_e$  — предельное значение диэлектрической проницаемости среды с ровной границей при  $z \rightarrow 0$ :  $\nu_e = \epsilon(-0)$ ;  $\gamma' \equiv \gamma(x') = \sqrt{k^2 - x'^2}$ ,  $\text{Im } \gamma \geqslant 0$ ;

$$\Delta'_p \equiv \Delta_p(x') = \gamma' \tilde{\alpha}(x') + k, \quad \Delta'_s \equiv \Delta_s(x') = \gamma' + k^3(x'). \quad (10)$$

Скалярные импеданс и адmittанс ровной поверхности  $z=0$  диэлектрической среды, обозначенные через  $\beta \equiv \beta(\mathbf{x})$  и  $\tilde{\alpha} \equiv \tilde{\alpha}(\mathbf{x})$  соответственно, определены соотношениями

$$\beta(\mathbf{x}) = i\partial_x \Psi_{\mathbf{p}}^-(+0, \mathbf{x})/(k\Psi_{\mathbf{p}}^-(0, \mathbf{x})), \\ \tilde{\alpha}(\mathbf{x}) = -ik\Psi_{\mathbf{p}}^-(0, \mathbf{x})/\partial_x \Psi_{\mathbf{p}}^-(+0, \mathbf{x}), \quad (11)$$

где функции  $\Psi_{\mu}^{-}(z, x)$  есть решения уравнений

$$[\eta(z) \partial_z \eta^{-1}(z) \partial_z + k^2 \epsilon(z) - x^2] \Psi_{\mu}^{-}(z, x) = 0, \quad -\infty < z < \infty, \quad (12)$$

$\eta = \epsilon$  при  $\mu = s$  и  $\eta = 1$  при  $\mu = p$ , удовлетворяющие условию излучения при  $z \rightarrow -\infty$ . Величины со штрихами  $\tilde{\alpha}'$ ,  $\tilde{\beta}'$  зависят от  $x'$ .

Выражения для длин рассеяния легко получаются из формул работ [9, 10] для индикаторис рассеяния шероховатой поверхности диэлектрического полупространства. В результате величина  $P$  из (7) прибывает следующий вид:

$$\begin{aligned} P = 4k^8 |1 - \nu_e|^2 \cos^2 \alpha \cos^2 \alpha' \tilde{B}(x - x') [|\Delta_s'|^{-2} (\sin \alpha \sin \alpha' / \nu_e - \beta \beta' \cos(\varphi' - \varphi)) \times \\ \times (d^* \cdot \theta) / \Delta_s - \tilde{\alpha}' \sin(\varphi' - \varphi) (d^* \cdot z_0 \times n) / \Delta_p|^2 + |\tilde{\alpha}' / \Delta_p|^2 |\tilde{\alpha} \cos(\varphi' - \varphi) \times \\ \times (d^* \cdot z_0 \times n) / \Delta_p - \beta \sin(\varphi' - \varphi) (d^* \cdot \theta) / \Delta_s|^2], \end{aligned} \quad (13)$$

где  $x = (k \cos \varphi \sin \alpha, k \sin \varphi \sin \alpha, 0)$ ,  $x' = (k \cos \varphi' \sin \alpha', k \sin \varphi' \sin \alpha', 0)$ .

4. Выражения (6), (7) совместно с (8), (9), (13) образуют основу для численного исследования излучательной способности плоскослоистого диэлектрического полупространства с шероховатой поверхностью. Ниже рассмотрен простейший случай слоистой диэлектрической среды, представляющей собой однородный слой с диэлектрической проницаемостью  $\epsilon_1 = \epsilon_1' (1 + i \delta_1)$  и толщиной  $b$ , лежащий на однородном полупространстве с диэлектрической проницаемостью  $\epsilon_2 = \epsilon_2' (1 + i \delta_2)$ . Скалярные адmittанс и импеданс поверхности выбранной среды равны

$$\begin{aligned} \tilde{\alpha}(x) = \frac{k(h_1 \cos(bh_1) - ih_2 \sin(bh_1))}{h_1(h_2 \cos(bh_1) - ih_1 \sin(bh_1))}, \\ \tilde{\beta}(x) = \frac{h_1(h_2 \cos(bh_1) - i(\epsilon_2/\epsilon_1)h_1 \sin(bh_1))}{k(\epsilon_2 h_1 \cos(bh_1) - ih_1 h_2 \sin(bh_1))}; \\ h_1 \equiv h_1(x) = \sqrt{k^2 \epsilon_1 - x^2}, \quad h_2 \equiv h_2(x) = \sqrt{k^2 \epsilon_2 - x^2} \quad (\text{Im } \sqrt{\dots} \geq 0). \end{aligned} \quad (14)$$

Шероховатости поверхности полагаются статистически изотропными и коррелированными по гауссовскому закону  $B(r) = \sigma^2 \exp(-r^2/l^2)$  ( $l$  — интервал корреляции). Вследствие изотропности неровностей коэффициенты деполяризации  $R_{sp} = R_{ps} = 0$ , остальные коэффициенты когерентного отражения, а значит, и излучательная способность не зависят от азимутального угла  $\varphi$ . Требования малости и пологости неровностей налагают условия  $k \sigma \ll 1$  и  $\sigma/l \ll 1$ , которые считаются выполненными. Расчеты проведены для вертикально ( $d = \theta$ ) и горизонтально ( $d = z_0 \times n$ ) поляризованной антенны приемника по программе [12].

В качестве анализируемых величин выбраны радиояркостные контрасты шероховатой и гладкой границ на  $\mu$ -й поляризации, нормированные на термодинамическую температуру среды  $\Delta e_{\mu} = (T_{b\mu} - T_{b\mu}^0) / T = e_{\mu} - e_{0\mu}$  ( $\mu = s, p$ ). Величина  $e_{0\mu}$ , равная излучательной способности среды с ровной границей, определяется известными соотношениями [6]

$$\begin{aligned} e_{0\mu}(\alpha) &= 1 - |R_{\mu}(\alpha)|^2; \\ R_p(\alpha) &= (\tilde{\alpha}(k \sin \alpha) \cos \alpha - 1) / (\tilde{\alpha}(k \sin \alpha) \cos \alpha + 1), \\ R_s(\alpha) &= (\cos \alpha - \beta(k \sin \alpha)) / (\cos \alpha + \beta(k \sin \alpha)), \end{aligned} \quad (15)$$

где  $R_{\mu}$  — френелевские коэффициенты отражения плоской волны вертикальной ( $\mu = s$ ) или горизонтальной ( $\mu = p$ ) поляризации от слоистой среды с ровной границей. В результате расчетов на ЭВМ были установлены следующие закономерности.

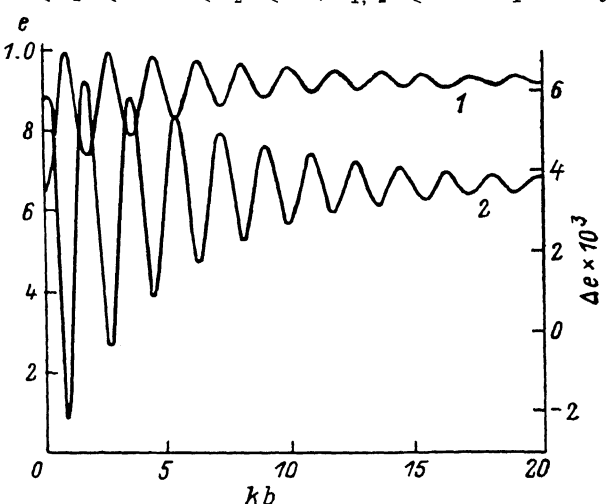
При излучении в надир ( $\alpha = 0$ ) величины  $e_0 = e_{0s}$ , ( $\alpha = 0^\circ$ ) =  $e_{0p}$ , ( $\alpha = 0^\circ$ ) и  $\Delta \equiv \Delta e_s$ , ( $\alpha = 0^\circ$ ) =  $\Delta e_p$ , ( $\alpha = 0^\circ$ ) осциллирующим образом зависят от толщины слоя  $b$  (рис. 1). Периоды осцилляций  $e_0$  и  $\Delta$  совпадают и равны  $2\pi/(k \operatorname{Re} \sqrt{\epsilon_1})$ , т. е. определяются диэлектрической проницаемостью слоя. Максимумам функции  $e_0(b)$  соответствуют минимумы  $\Delta(b)$ , и наоборот, причем шероховатости всегда приводят к увеличению минимумов, но не всегда уменьшают максимумы.

Разноименный характер экстремумов функций  $e_0(b)$  и  $\Delta(b)$  при совпадающих значениях аргумента обусловлен сглаживанием интерференционных явлений в слое под действием шероховатостей одной из его границ.

Рассмотрим частный случай, когда толщина слоя много меньше длины волны (точнее,  $kb\sqrt{\epsilon_1} \lesssim 0.5$ ). Интерференционные явления в такой структуре не проявляются. Ограничимся случаем, когда значения диэлектрических проницаемостей заключены в пределах  $2 \leq \epsilon_1 \leq 5$ ;  $5 \leq \epsilon'_2 \leq 20$ ;  $\delta_{1,2} \leq 0.1$ . При излучении в надир шероховатости приводят к уменьшению излучательной способности ( $\Delta < 0$ ) при  $kl \leq 0.1$  и к увеличению ( $\Delta > 0$ ) — при  $kl \geq 0.3$ . С ростом  $kl$  при фиксированной среднеквадратичной высоте неровностей  $\sigma$  величина  $\Delta$  возвра-

Рис. 1. Зависимость излучательной способности  $e_0(1)$  и изменения излучательной способности  $\Delta(2)$  под действием шероховатостей от толщины слоя  $b$ .

$$\sigma = 0.09, \quad kl = 0.5, \quad \epsilon_1 = 3 + 0.35i, \quad \epsilon_2 = -14 + 3.047i.$$



стает, достигает положительного максимума при  $kl \sim 1-2$ , а затем убывает к своему асимптотическому ( $kl \rightarrow \infty$ ) значению, отличному от нулевого.

Увеличение реальной части диэлектрической проницаемости слоя вызывает увеличение  $\Delta$ , а рост толщины этого слоя — уменьшение  $\Delta$ . Величина  $\Delta(\epsilon'_2)$  как функция реальной части диэлектрической проницаемости основания монотонно возрастает, если  $kl \geq 1$  или  $\epsilon'_1 \leq 2$ . В случае  $0.3 < kl < 1.0$  и  $\epsilon'_1 \geq 4$

$\Delta(\epsilon'_2)$  монотонно убывает во всем интервале изменения  $\epsilon'_2$  ( $5 \leq \epsilon'_2 \leq 20$ ).

В отсутствие частотной дисперсии диэлектрической проницаемости среды зависимость величины  $\Delta$  от частоты эквивалентна зависимости от переменного  $kl$

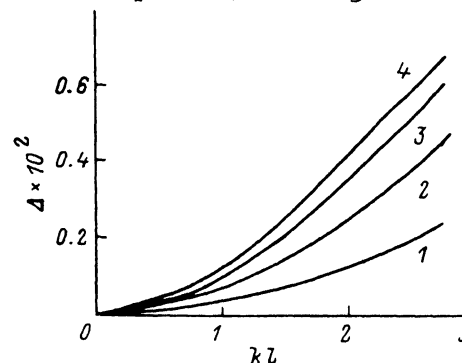


Рис. 2. Зависимость изменения излучательной способности  $\Delta$  от частоты.

$$\sigma/l = 0.03, \quad b/l = 1.0, \quad \delta_0 = 0.01, \quad \epsilon_2 = 15 + 1.5i; \quad \epsilon'_1: 1 - 2, 2 - 3, 3 - 4, 4 - 5.$$

при  $\sigma/l = \text{const}$ ,  $b/l = \text{const}$  (рис. 2). С увеличением частоты от  $k=0$  изменение излучательной способности под действием шероховатостей  $\Delta$  убывает, достигая отрицательного минимума при  $kl \sim 0.1$ , а затем монотонно возрастает, становясь положительной величиной при  $kl \sim 0.2$ .

Рассмотрим излучение тонких слоев в наклонном направлении ( $\alpha \neq 0$ ). При  $\alpha = \text{const} \leq 30^\circ$  зависимость величин  $\Delta e_{\epsilon_p}$  от  $kl$  при фиксированном  $\sigma$  аналогична зависимости  $\Delta(kl)$ , описанной выше. При углах визирования  $\alpha$ , близких к скользящим,  $\Delta e_{\epsilon_p}$  как функция  $kl$  монотонно возрастает.

Увеличение реальной части диэлектрической проницаемости слоя ведет к возрастанию  $\Delta e_p$  при  $0 < \alpha < 90^\circ$  и  $\Delta e_s$  при  $0 < \alpha \leq 30^\circ$ . В окрестности угла  $\alpha = \arccos(1/\sqrt{\epsilon_2+1})$  при  $kl \leq 1$   $e_s$  убывает с ростом  $\epsilon'_1$ . Увеличение толщины  $b$  промежуточного слоя вызывает уменьшение  $\Delta e_p$  при  $0 < \alpha < 90^\circ$ ,  $kl < 1$  и

$0 < \alpha \leq 20^\circ$ ,  $kl \sim 1$ ; в случае  $kl \sim 1$  и  $60 \leq \alpha < 90^\circ$   $\Delta e_s$  (б) — возрастающая функция. Величина  $\Delta e_s$  убывает с ростом  $b$  при  $0 < \alpha < 60^\circ$ ,  $0.3 < kl < 5.0$ . Рост реальной части диэлектрической проницаемости основания при  $kl \geq 1$  приводит к возрастанию  $\Delta e_s$ , для углов визирования  $0 < \alpha \leq 30^\circ$ .

При анализе угловых зависимостей теплового излучения тонких слоев ограничимся ситуацией, когда  $0.3 < kl < 5.0$ . Зависимости изменения излучательной способности  $\Delta e_{s,p}$  на вертикальной (сплошная линия) и горизонтальной (штриховая линия) поляризациях от угла визирования  $\alpha$  представлены на рис. 3. На вертикальной поляризации в области углов  $0 < \alpha < 30^\circ$  излучательная способность шероховатой поверхности превосходит таковую для ровной поверхности  $\Delta e_s > 0$ . При  $\alpha = \alpha_{\min} \geq \arccos(1/\sqrt{\epsilon_2+1})$  и в некоторой окрестности этого угла имеет место обратное соотношение  $\Delta e_s < 0$ . В интервале

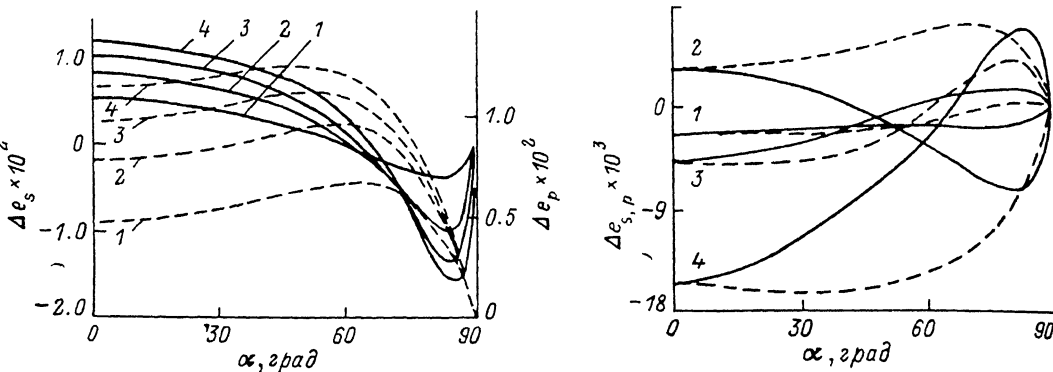


Рис. 3. Зависимость изменения излучательной способности на вертикальной (сплошная линия) и горизонтальной (штриховая) поляризациях от угла визирования  $\alpha$ .  
 $k\sigma = 0.09$ ,  $kl = 1.0$ ,  $kb = 0.3$ ,  $\epsilon_1 = 5 + 0.05i$ ,  $\delta_1 = 0.1$ ;  $\epsilon_2'$ : 1 — 5, 2 — 10, 3 — 15, 4 — 20.

Рис. 4. Зависимость изменения излучательной способности на вертикальной (сплошная линия) и горизонтальной (штриховая) поляризациях от угла визирования  $\alpha$  для среды с толщиной слоя  $b$ , равной четверти длины волны излучения в слое.

$$k\sigma = 0.09, kb = \pi/(2\sqrt{\epsilon_1}), \epsilon_1 = 14 + 3.047i; \epsilon_1': 1, 3 - 2; 2, 4 - 5; kl: 1, 2 - 0.5; 3, 4 - 5.0.$$

углов  $0 < \alpha < \alpha_{\min}$   $\Delta e_s(\alpha)$  монотонно убывает, а при  $\alpha_{\min} < \alpha < 90^\circ$  монотонно возрастает до нуля, оставаясь отрицательной величиной. На горизонтальной поляризации шероховатости границы приводят к возрастанию излучательной способности при всех углах визирования  $0 < \alpha < 90^\circ$ , причем в скользящих направлениях ( $\alpha \rightarrow 90^\circ$ )  $\Delta e_p \rightarrow 0$ . Как функция угла визирования  $\Delta e_p(\alpha)$  имеет единственный экстремум-максимум при  $\alpha = \alpha_{\max} > 30^\circ$ .

Рассмотрим теперь другой частный случай, когда толщина слоя  $b$  равна четверти длины волны излучения в слое (т. е.  $kb\sqrt{\epsilon_1} \approx \pi/2$ ). При этой толщине слоя излучательная способность в надир среды с ровной границей и при фиксированных значениях диэлектрических проницаемостей  $\epsilon_1$ ,  $\epsilon_2$  имеют абсолютный максимум. Ограничимся ситуацией, когда реальная часть диэлектрической проницаемости слоя изменяется от 2 до 5,  $\delta_1 = 0.1$ ,  $\epsilon_2 = 14 + 3.047i$ . Неровности поверхности будем полагать либо мелкомасштабными ( $kl = 0.5$ ), либо крупномасштабными ( $kl = 5.0$ ).

Мелкомасштабные неровности поверхности среды с  $\epsilon_1' = 2 - 3$  приводят к уменьшению излучательной способности на горизонтальной поляризации ( $\Delta e_p < 0$ ) при  $0 < \alpha \leq 50^\circ$  и к увеличению при  $70 \leq \alpha < 90^\circ$ . Для  $\epsilon_1' = 4 - 5$  шероховатости поверхности увеличивают излучательную способность при всех углах визирования. При любых значениях  $\epsilon_1'$  функция  $\Delta e_p(\alpha)$  имеет положительный максимум при скользящих углах ( $\alpha \rightarrow 90^\circ$ ). На вертикальной поляризации при  $\epsilon_1' = 2 - 3$   $\Delta e_s < 0$  на всех углах визирования, а при  $\epsilon_1' = 4 - 5$   $\Delta e_s > 0$ .

$(0 < \alpha < 30^\circ)$  и  $\Delta e_s < 0$  ( $40 < \alpha < 90^\circ$ ). При любых  $\epsilon'_1$  функция  $\Delta e_s(\alpha)$  имеет отрицательный минимум в области углов визирования  $\alpha \geq 70^\circ$ .

Крупномасштабные шероховатости поверхности среды с  $\epsilon'_1=2-3$  вызывают уменьшение излучательной способности на горизонтальной поляризации на углах визирования  $0 < \alpha < 60^\circ$  и увеличение при  $80 < \alpha < 90^\circ$ . Для  $\epsilon'_1=4-5$  шероховатости уменьшают излучательную способность при  $0 < \alpha < 90^\circ$ . На вертикальной поляризации для всех рассматриваемых значений  $\epsilon'_1$   $\Delta e_s < 0$  при  $0 < \alpha < 60^\circ$  и  $\Delta e_s > 0$  при  $80 < \alpha < 90^\circ$ . При скользящих углах функция  $\Delta e_s(\alpha)$  имеет положительный максимум. На рис. 4 представлены угловые зависимости изменения излучательной способности  $\Delta e_s$ ,  $\mu$  на вертикальной (сплошная линия) и горизонтальной (штриховая) поляризациях.

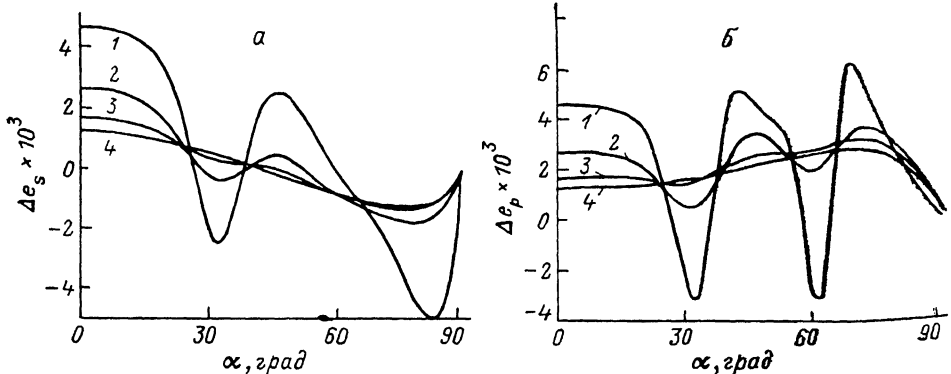


Рис. 5. Зависимость изменения излучательной способности на вертикальной (а) и горизонтальной (б) поляризациях от угла визирования  $\alpha$ .

$$k\sigma = 0.09, k\ell = 1.79, kb = 20.0, \epsilon'_1 = 3; \epsilon_2 = 14 + 3.047i; \delta_1: 1 - 0.001, 2 - 0.04, 3 - 0.08, 4 - 0.12.$$

Перейдем к рассмотрению структур с толщиной слоя  $b$ , превышающей несколько длин волн. Этот случай интересен тем, что при выполнении условия

$$2\pi/\text{Re}(\sqrt{\epsilon_1} - \sqrt{\epsilon_1 - 1}) < kb \leq 2A/(\delta_1 \sqrt{\epsilon'_1}) \quad (16)$$

в угловых зависимостях  $e_{0_\mu}(\alpha)$ ,  $\Delta e_\mu(\alpha)$  проявляются интерференционные явления. Здесь величина  $2/(k\delta_1\sqrt{\epsilon'_1})$  — толщина скин-слоя для диэлектрика с проницаемостью  $\epsilon = \epsilon'_1(1+i\delta_1)$ . Коэффициент  $A$  равен 1.5—2.0 для угловых зависимостей излучательной способности среды с ровной границей. Для зависимостей  $\Delta e_\mu(\alpha)$  величина коэффициента  $A$  зависит от интервала корреляции  $kl$ . Так, при  $kl=0.5$   $A=0.3-0.4$ , а при  $kl=5.0$   $A=1.5-2.0$  (рис. 5). Этот эффект связан с тем, что мелкомасштабные неровности поверхности рассеивают падающую на них излучение преимущественно в неоднородные плоские волны, локализованные вблизи поверхности и распространяющиеся вдоль нее. Глубина проникновения в диэлектрическую среду рассеянного поля в этом случае меньше толщины скин-слоя. Крупномасштабные неровности перерассеивают падающую волну в плоские волны, распространяющиеся преимущественно вдоль направлений зеркального отражения и прохождения. При этом глубины проникновения в диэлектрическую среду рассеянного поля и поля, прошедшего через ровную поверхность среды, сравнимы между собой. Из рис. 5 видно, что при выполнении условия (16) шероховатости поверхности приводят к уменьшению величины излучательной способности на горизонтальной поляризации при углах визирования  $\alpha$ , удовлетворяющих соотношению  $kb\text{Re}\sqrt{\epsilon_1 - \sin^2\alpha} = (n-1/2)\pi$ ;  $n=1, 2, 3$ . Этим углам визирования соответствуют максимумы функции  $e_{0_\mu}(\alpha)$ .

### Список литературы

- [1] Богословский В. В., Козлов А. И. Микроволновая радиометрия земных покровов. Л.: Гидрометеоиздат, 1985. 272 с.

- [2] Шутко А. М. СВЧ радиометрия водной поверхности и почвогрунтов. М.: Наука, 1986. 190 с.
- [3] Докучаев В. П., Кротиков В. Д. // Изв. вузов. Сер. Радиофизика. 1981. Т. 24. № 8. С. 937—944.
- [4] Жук Н. П., Третьяков О. А., Фукс И. М., Яровой А. Г. // Изв. вузов. Сер. Радиофизика. 1989. Т. 32. № 8. С. 927—932.
- [5] Жук Н. П., Пузенко А. А., Третьяков О. А. и др. // Изв. АН СССР. Сер. Физика атмосферы и океана. 1989. Т. 25. № 7. С. 710—716.
- [6] Легин М. Л., Рытов С. М. Теория равновесных тепловых флуктуаций в электродинамике. М.: Наука, 1967. 308 с.
- [7] Басс Ф. Г., Фукс И. М. Рассеяние волн на статистически неровной поверхности. М.: Наука, 1972. 424 с.
- [8] Жук Н. П. // Изв. вузов. Сер. Радиофизика. 1987. Т. 30. № 5. С. 592—598.
- [9] Жук Н. П. // Электроника миллиметрового и субмиллиметрового диапазонов. Киев: Наукова думка, 1988. С. 226—233.
- [10] Яровой А. Г. // Радиотехника. Харьков: Выща школа, 1986. Вып. 79. С. 73—78.
- [11] Жук Н. П., Яровой А. Г. Деп. в УкрНИИТИ. № 2753-Ук87. Харьков, 1987.
- [12] Жук Н. П., Яровой А. Г. Программа расчета излучательной способности и радиояркостной температуры плоскослоистого кусочнооднородного полупространства с шероховатой поверхностью. Харьков, 1988. 65 с. Принята в УкрФАП 30.12.88. № П6353. № ГР 50890000692.

Харьковский государственный  
университет

Поступило в Редакцию  
14 марта 1990 г.